

## (165) 窒素を含む高Cr-Fe合金の高温加熱による脱窒について

東京工業大学 工博 岡本正三

東京都立大学 ○宮川大海

千葉工業大学 福留正治

On the Nitrogen-Removal of High-Cr-Fe Alloys Containing Nitrogen by Heating at High Temperatures.

Dr. Shozo OKAMOTO, Ōmi MIYAKAWA  
and Masaharu FUKUTOME.

## I. 緒 言

高Cr-Fe合金を純粋N<sub>2</sub>中で高温度に加熱した場合のNの吸収される状況、N吸収材の熱処理挙動およびN吸収処理による合金の諸特性の改善などについてはすでに数次にわたつて報告し、N吸収によって高濃度に合金化されたNの有用性について明らかにした。ところでこれら高濃度のNを含む合金を鍛造、圧延または溶体化処理などのため高温度に加熱するときは処理方法が適切でないと脱窒およびそれに伴なう諸性質の劣化が予想される。高C濃度の鋼における脱炭現象に関しては古くより数多くの研究がみられるにかかわらず、脱窒に関してはまだ報告をみない。そこで板状および粉末状の20% Cr-Fe合金の飽和N吸収材を各種雰囲気中で高温度に加熱した場合の脱窒を熱天秤による重量変化の測定と組織検査により検討した。

## II. 試料および実験法

いずれも高純度の原料金属を用いてタンマン炉により急速に熔製した20% Cr-Fe合金および20% Cr-4% Ni-Fe合金（これらの記号をそれぞれONおよび4Nとする）を厚さ0.5mm、巾8mm、長さ32mmの板状および40~100メッシュの粉末状となし、純粋N<sub>2</sub>中1250°Cで重量増加がみられなくなるまでNを吸収さ

せたのちそのまま炉冷したものを試料とした。各試料のN濃度は内外均一でONでは0.67%，4Nでは0.68%である。これら試料各1gずつをとり、板状試料はそのまま白金製のフックにかけ、粉末状試料は白金製のボットに入れてそれぞれ熱天秤中に吊るし、大気中、10<sup>-5</sup>mmHgのN<sub>2</sub>中および高純度1気圧のアルゴン中で1100°Cまで約3/4hを要して昇温したのち、この温度に最大3hまで保持して重量変化を連続的に測定し、炉冷後秤量、Nの分析、検鏡を行なつて脱窒の状況を調べた。なお、試料表面に存在する酸化被膜の脱窒におよぼす影響を知るために、飽和N吸収材をあらかじめ大気中で1100°Cに1/2h加熱したものについても10<sup>-5</sup>mmHgのN<sub>2</sub>中で加熱して実験および考察を行なつた。

## III. 実験結果とその考察

## 1. 大気中の加熱によるN濃度の変化

Table 1は上記各試料を大気中で1100°Cまで3/4hを要して昇温し1100°Cに1h保持した場合の重量およびN濃度の変化を表示したものである。これらの実験結果から1100°C-1hの大気中加熱による供試材中のN量の低下を算出するとTable 1に示すようにいずれの試料でも元のN量の1.3%程度以下の少量に過ぎないことがわかつた。これは大気中のN<sub>2</sub>の分圧が0.8気圧程度もあり、また試料表面に生じた酸化被膜が脱窒を抑制するためと考えられる。なお大気中加熱後の試料を検鏡するとON、4Nとも粉末状試料に数10μ程度の酸化被膜の生成が認められるのみで、各試料とも加熱前後の組織は変りがない。

2. 10<sup>-5</sup>mmHgのN<sub>2</sub>中の加熱によるN濃度の変化

Fig. 1の下段に示すのはONおよび4Nの1250°Cにおける飽和N吸収材を10<sup>-5</sup>mmHgのN<sub>2</sub>中で1100°Cまで3/4hを要して昇温し、この温度に最大3hまで保持した場合の重量変化の測定結果である。これよりこれら各試料は10<sup>-5</sup>mmHgのN<sub>2</sub>中で加熱されるといずれも顕著な重量減少を示し、もつとも重量の減少が

Table 1. Weight change of nitrogen by heating at 1100°C for 1h in air.

Specimens	Before heating			After heating (1100°C-1h in air)			Weight change of N in specimens A~A'/A × 100(%)
	Weight of specimen (mg)	N content (Total N) (%)	Weight of N in specimens A (mg)	Weight of specimen (mg)	N content (Total N) (%)	Weight of N in specimens A' (mg)	
ON-plate	1000.0	0.665	6.65	1003.7	0.663	6.65	0
ON-powder	1000.0	0.671	6.71	1161.3	0.570	6.62	(-)* 1.34
4N-plate	1000.0	0.683	6.83	1001.8	0.684	6.86	(+)** 0.44
4N-powder	1000.0	0.685	6.85	1148.5	0.592	6.80	(-) 0.73

\* Shows the weight decrease of N.

\*\* Shows the weight increase of N.

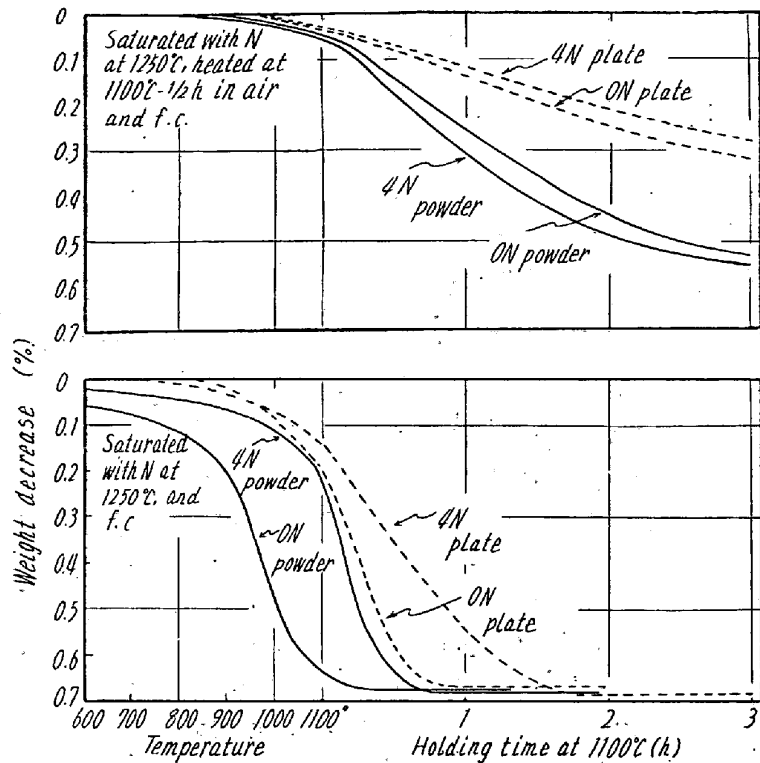


Fig. 1. Weight decrease during heating up to 1100°C and holding at 1100°C in nitrogen of  $10^{-5}$  mmHg.

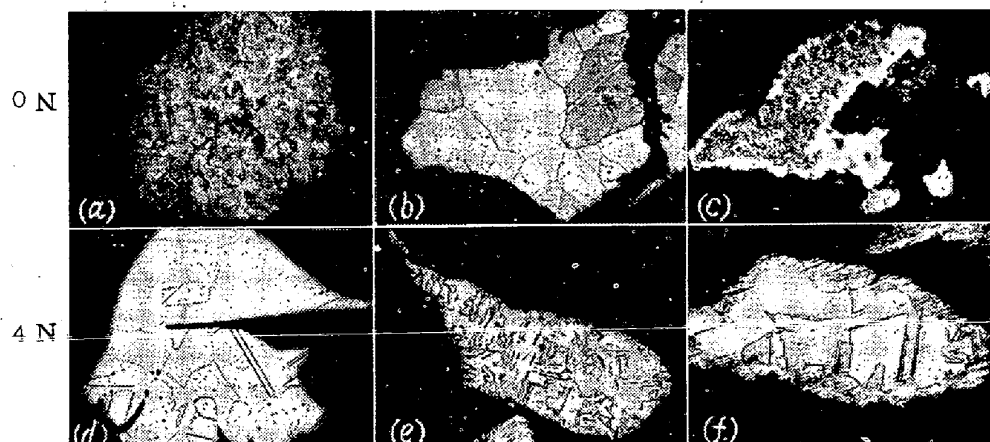
おそれ 4N の板状試料でも 1100°C に 2 h 程度加熱するときはもはや重量減少がまつたく見られなくなることが知られる。これらの供試試料は重量減少がまつたく見られなくなつた後なおそれぞれ 1 h 1100°C に保持し、後炉冷して N の分析を行なつたが、いずれも 0.01% 以下の N 濃度となつておらず、また試料の酸化はまつたく見られないため脱窒量と重量減少とはよく一致した。Fig. 1 を見ると粉末状試料は表面積が大きいために板状試料に比べて脱窒が速やかである。また 0 N が 4 N に比べて脱窒が速やかなのは Ni 濃度の差にもよるであろうが、0 N では脱窒の過程に試料の周辺部に N の拡散速度の大きいフェライトが生じやすいのに対し、4 N は完全に脱窒してもなお 60% のオーステナイトを含む合金であり、フェライトが生じにくいためと考えられる。

つぎに試料表面の酸化被膜が脱窒に対していかなる影響をおよぼすかを調べるために、飽和

N 吸収材を大気中であらかじめ 1100°C に 1/2 h 加熱炉冷した後上記同様  $10^{-5}$  mmHg の N<sub>2</sub> 中で脱窒の実験を行ない、その結果をさきの Fig. 1 の上段に示した。これよりいずれの試料でも酸化被膜のために脱窒がいちじるしく抑制されることが知られる。また酸化被膜の存在しない場合と異なり 0 N と 4 N とで脱窒の進行速度に差が見られないのは脱窒の速度が酸化被膜中の N の拡散速度に支配されるためと考えられる。Photo. 1 は粉末状試料の脱窒実験前後の顕微鏡組織を示したもので、(a)(d) はそれぞれ 0 N および 4 N の 1250°C における飽和 N 吸収後炉冷したもの、(b)(e) は  $10^{-5}$  mmHg の N<sub>2</sub> 中で 1100°C に 2 h まで加熱後炉冷したものでいずれも試料の中心部まで完全に脱窒したことが認められる。また (c)(f) は酸化被膜を生成させた後同じく  $10^{-5}$  mmHg の N<sub>2</sub> 中で 1100°C に 1 h 加熱後炉冷したもので、0 N の周辺部は窒化物を含まぬフェライト単相となり 4 N の周辺部ではオーステナイトのマルテンサイト化が起つたことが認められる。

- 1 気圧のアルゴン中の加熱による N 濃度の変化
- 1250°C で飽和するまで N を吸収させた 0 N および 4 N の板状試料を高純度の 1 気圧アルゴン中で 1100°C に 2 h 加熱して重量変化を測定し脱窒の有無を調べたところ、1 気圧アルゴン中では両合金とも脱窒はほとんど起らなかったことがわかつた。

#### IV. 総括



(a)(d) Alloys saturated with N at 1250°C were furnace-cooled.  
(b)(e) N-saturated specimens were heated at 1100°C for about 2h in  $10^{-5}$  mmHg-nitrogen.  
(c)(f) N-saturated and preoxidized specimens were heated at 1100°C for 1h in  $10^{-5}$  mmHg-nitrogen.

Photo. 1. Microstructures of ON and 4N powder, both saturated with N at 1250°C, before and after the heating at 1100°C in  $10^{-5}$  mmHg-nitrogen.  $\times 100$  (2/3).

1250°Cで飽和するまでNを吸収させた20%Cr-Fe合金(0.67%N)および20%Cr-4%Ni-Fe合金(0.68%N)の板状および粉末状試料を大気中, 10<sup>-5</sup>mmHgのN<sub>2</sub>中および高純度1気圧アルゴン中にて1100°Cに加熱した場合の脱窒現象を検討した結果つきの結論が得られた。

(1) 大気中1100°Cの加熱によつては脱窒はほとんど起らない。

(2) 10<sup>-5</sup>mmHgのN<sub>2</sub>中で1100°Cに加熱すると両合金とも脱窒がいちじるしく、試料の形状、寸法にもよるが1100°C-2h程度の加熱によつて合金中のNはまたなくなる。20%Cr-4%Ni-Fe合金は20%Cr-Fe合金に比べて脱窒の進行がややおそい。

(3) 試料表面に生成した酸化被膜によつて10<sup>-5</sup>mmHgのN<sub>2</sub>中で加熱した場合の脱窒はかなり抑制される。この場合脱窒の速さは合金の種類によつてあまり差異がない。

(4) 高純度1気圧のアルゴン中における1100°Cの加熱によつては脱窒はほとんどみられない。

## (166) 冷間加工した18-8ステンレス鋼の加熱過程における異常性

東北大学金属材料研究所

工博 今井勇之進・工博○斎藤 利生

*On the Anomaly of Cold-Worked 18-8 Stainless Steel in Heating Process.*

*Dr. Yūnoshin IMAI and Dr. Toshio SAITO.*

### I. 緒 言

オーステナイトの不安定な18-8ステンレス鋼は常温あるいはサブゼロ温度における加工により容易に相変化を起すことが知られている。これらの相変化の程度は鋼の組成および加工温度、加工度、加工方法などの加工条件によつてきわめて大きい影響を受ける。一方加工により相変化を起した18-8鋼の加熱過程における変化は、従来の研究では $\alpha \rightarrow \gamma$ 逆変態の様相は必ずしも一致していない。

著者らは各種の常温加工を施した18-8鋼の相変化および加工後の加熱による相変化の様相を主として熱膨張により研究中、とくに圧延加工材の熱膨張曲線に異常性を見出したので本報に報告する。

### II. 実験試料および方法

供試材はTable 1の成分の18-8鋼で、とくにオーステナイトの不安定な組成を選んだものである。本鋼は

Table 1. Chemical analysis of the steel tested (%).

C	Si	Mn	Ni	Cr
0.065	0.43	1.12	7.25	18.33

1100°C × 1/2h, WQの溶体化処理状態で約15%のマルテンサイトを有することが顕微鏡組織から認められる。引張加工試料は溶体化処理後常温で3~45%の伸びを与えた引張試験片の平行部から5φ×70lの膨張試験片を作成した。鎔打試料は同じ寸法の膨張試験片を定盤上で均一に鎔打して各種の伸びを与えたものである。また圧延試料は5.1~7.0φの各種径の試片を溶体化処理後5.0φに圧延して各圧延比の試料を得た。圧延は普通のチルド溝ロールで行なつた。

かくして得た膨張試験片は本多式示差膨張計によりNi-Co合金を中性体として3°C/mnの速度で1000°Cまで加熱し、その間の膨張曲線の変化を調べた。これらの曲線に現われたいちじるしい変化は爾後X線、硬度計、顕微鏡、弾動磁力計などを利用してその原因を追求した。X線撮影は別に1.25φに線引した試料に加工を与え、電解後CrK $\alpha$ 線を使用したが、圧延試料だけは5φの試料から小試片を削出して使つた。

### III. 実験結果

#### 1. 加工による相変化

各試料の加工度と硬化を調べた結果、引張および鎔打試料はほぼ同様の硬化曲線を示し、加工による相変化も加工度の増加によりしだいに $\alpha$ が増加して強加工試料ではほぼ完全に $\alpha$ だけとなるが、圧延試料は圧延比が少なくて硬化はきわめていちじるしく、一方加工による相変化は比較的少なく圧延比が大きい試料でもなお多量の $\gamma$ の残留がX線で認められた。すなわち引張および鎔打試料の硬化がマルテンサイトの形成によるものに対して、圧延試料の硬化はマルテンサイトの形成と $\gamma$ の加工硬化の両者によるものと見做される。

#### 2. 加工後の加熱による相変化

引張加工試料の熱膨張曲線はFig. 1に示した。溶体化処理状態の曲線は明瞭な変化はなく温度とともにほぼ直線的に増加するに過ぎない。Fig. 1における第1の変化は150°C付近の低温域に現われている収縮である。この変化は後述する他の加工法には現われず単純な一軸方向の引張加工のみに現われるもので、従来から認められており本報では一応触れないこととする。

第2の変化は600°C付近に現われている大きい収縮で、加工度の増加にしたがつてしまいに大きくなり、か